

1087

A.

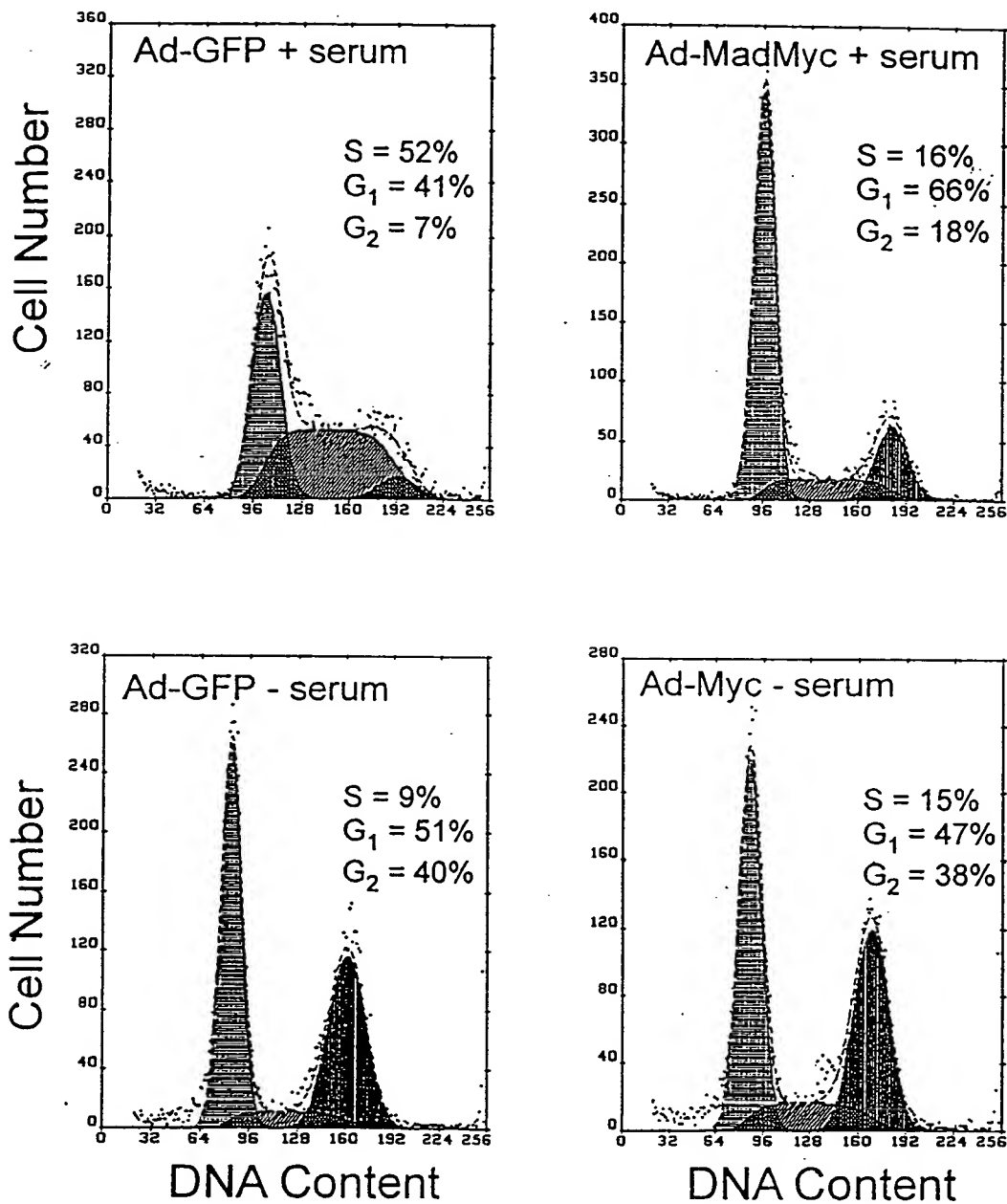
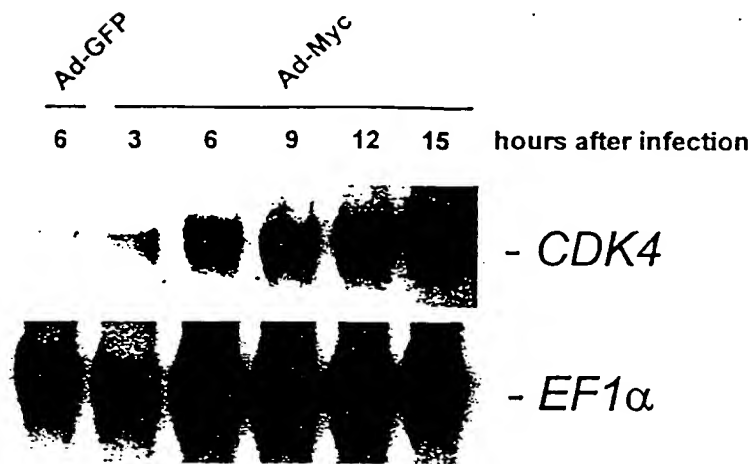


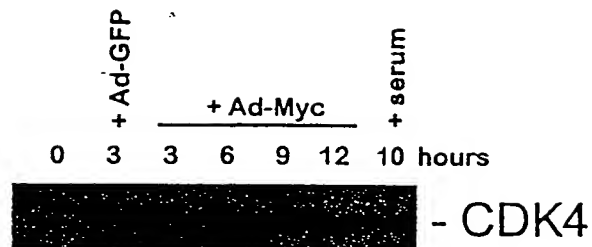
Fig. 1A
Hermeking et al.

2871

B.



C.



D.

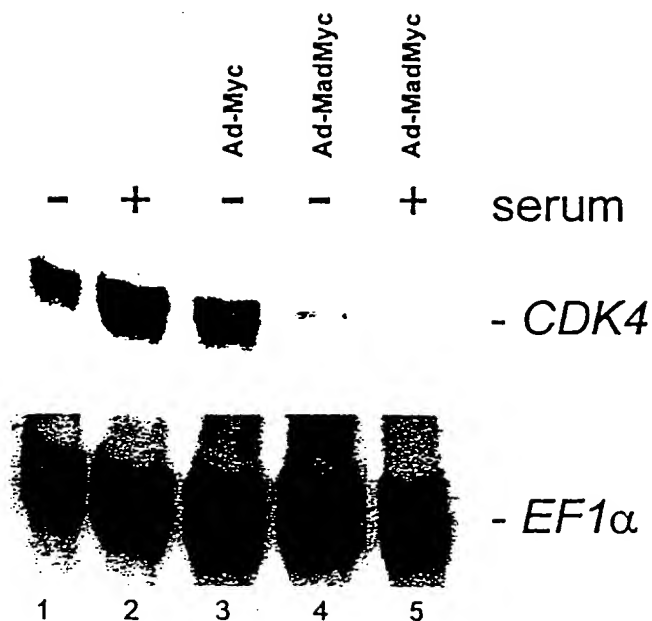
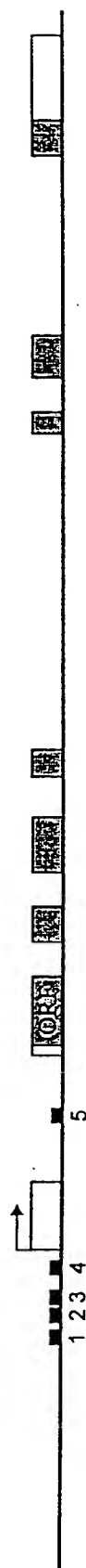


Fig. 1B-D
Hermeking *et al.*

0070055099500460

A



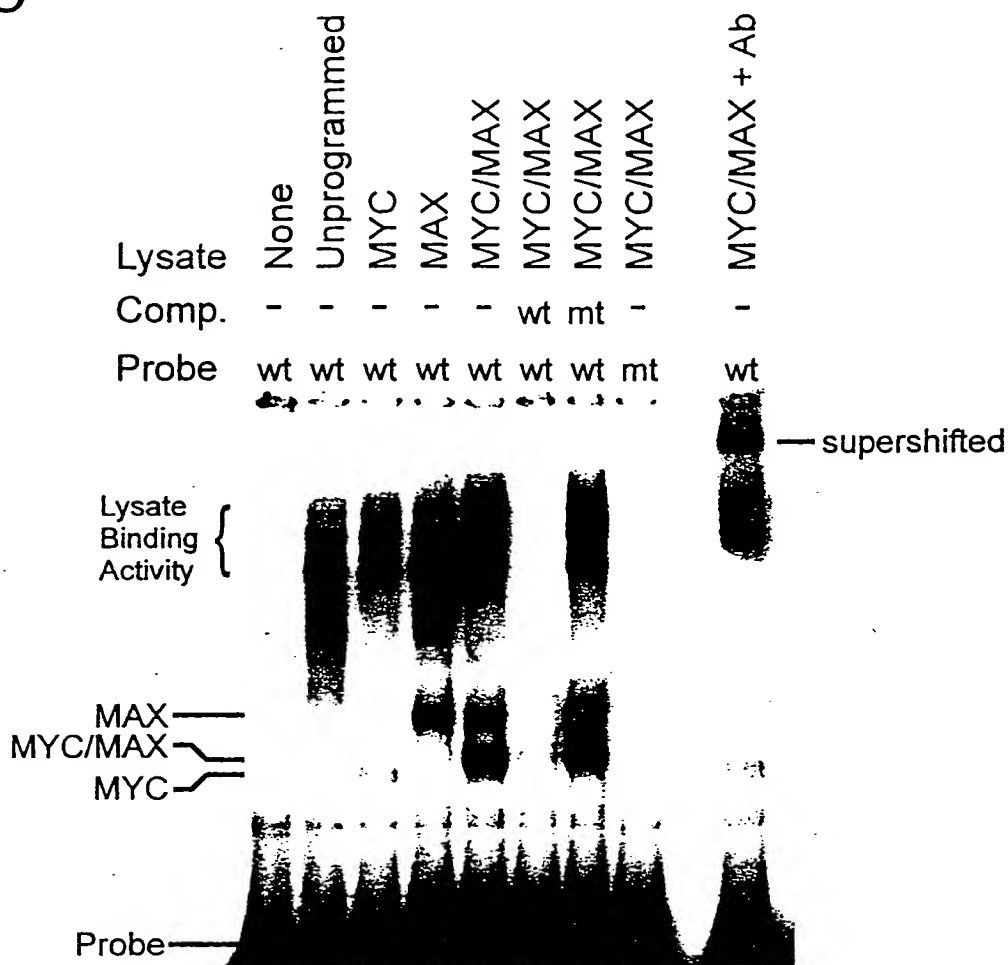
B

Mouse	GTGGAGAGCAAAATGTACAGGCAACATTCCTGGGACACAGGATCTCCACCTCGACCTGCGCC	CACCTCAGAGACCCATAGTGAGACTCAGATCGCTCTGGCT
Human	GTGGAGGCAAAACGTACAGCAACACCTCTGTACCCCAACTCCCCACC	CAATGCACACAGGCTCAAGACCGGTAGTGAGACTCAGTTCACTTCAGAC
Mouse	CGG CGG	
Human	CCGGCCGGTAGTGACACAAATCCCTCAGCCGGGAGTGGCTCTGGGCTGGGCTA	GGTGGCCATGACACCGGCTTGGCTCCACCCCTCTCTGTTGTCCTCCCTCAACCAGCTCCGCCCCCT
Mouse	AGTCAAGGT ATGGGAGCCAGTATCGCTCCACACAGGTAACACACACCTCTGCTTCC	CAGCGCAAGTCAAGCGGTATCCCTGGGATAGCAACACAGCTATCTTGGCCGTCA GGC
Human	AGCGGGGTCTGGCAGCCAGTATCGCTCCGCGCC	CGGTACCCACACCTCTGC TCTCAGAGCAATCTCAAGCGGTATCCCTGGTATGCAACACATATCTTGGCTGCTCGCCCT
Mouse	CCGCCCCCTTCCCCACCCACAC	
Human	ACAGTCTTCCGCTCCCTCCCACTCAGCA CCTCCCTCTCCGCG	CTCAAGGCAAGGTTGCGCTTCTTCCAGACAGTCCGCGCGCCGCCCCCGCCC

Fig. 2A & B
Harmakinn et al

07

C



D

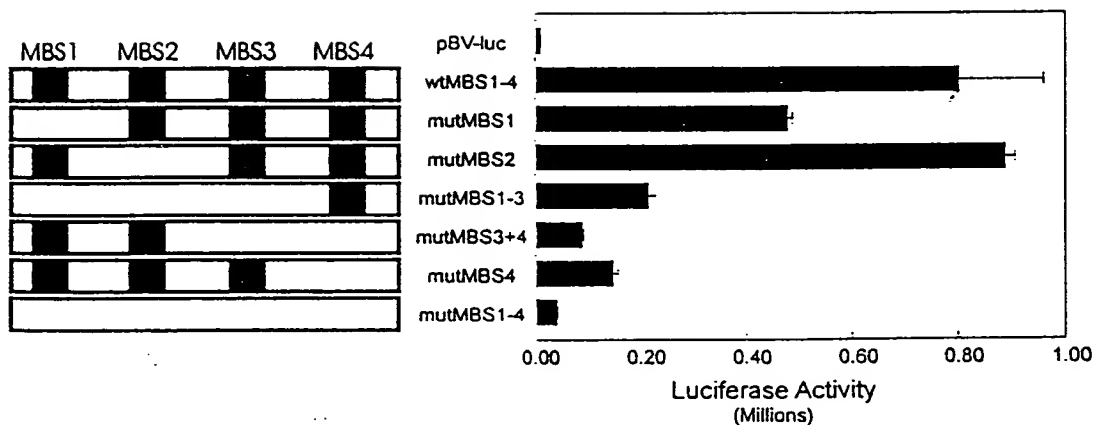


Fig. 2C & D
Hermeking *et al.*

00100546 00000000

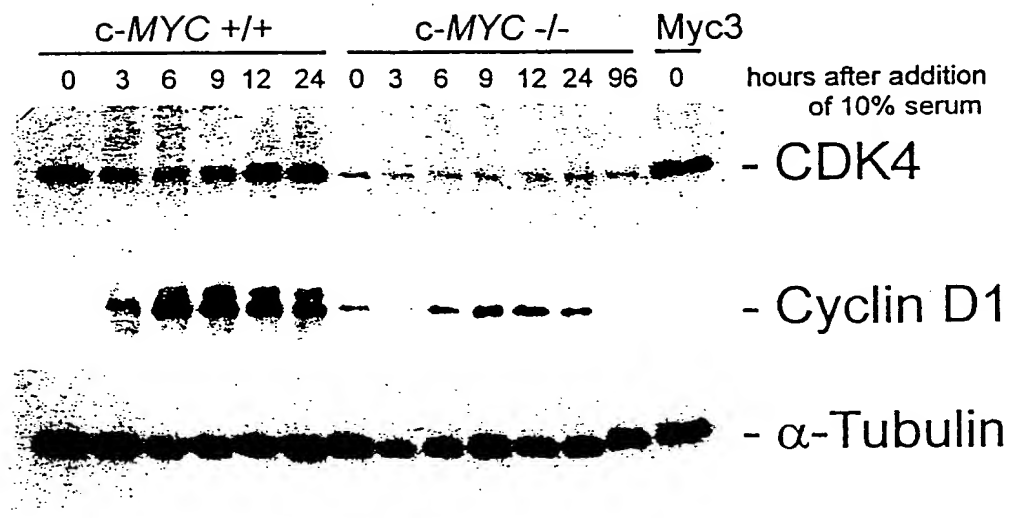
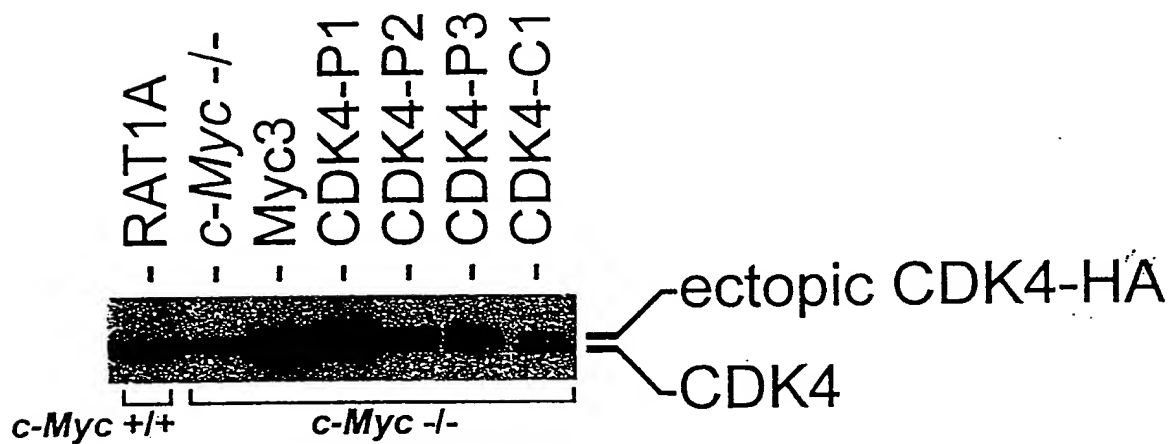


Fig. 3
Hermeking et al.

A



B

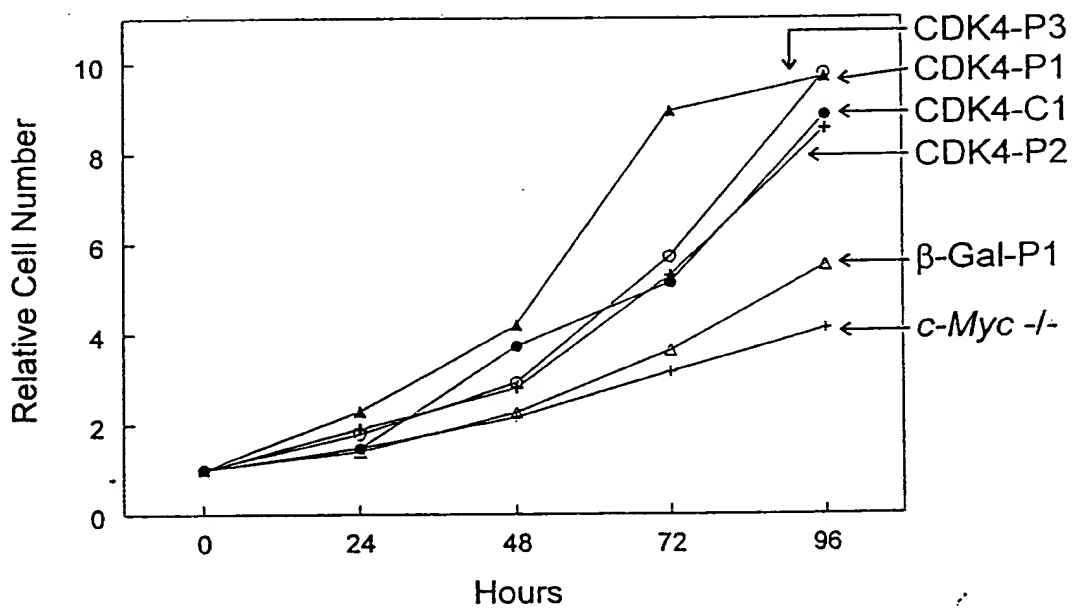


Fig. 4
Hermeking *et al.*

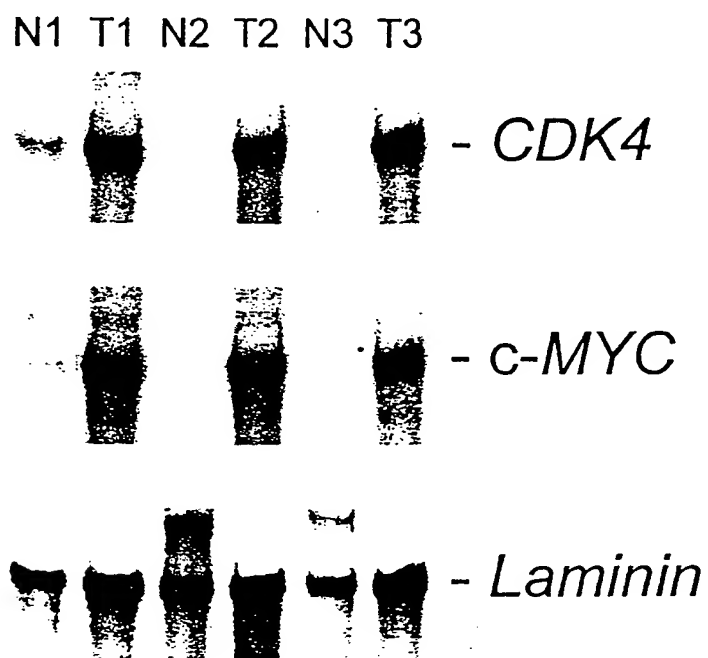


Fig. 5
Hermeking *et al.*